

УДК 519.92

*А.В. Шаронов, С.В. Новоселов***АЛГОРИТМ ОБРАБОТКИ РАСТРОВЫХ ИЗОБРАЖЕНИЙ,  
ОСНОВАННЫЙ НА ВЕЙВЛЕТ-ПРЕОБРАЗОВАНИИ**

*Предложен алгоритм сжатия и восстановления части изображения по его полному вейвлет-образу. Показано, что алгоритм позволяет осуществлять восстановление требуемого фрагмента изображения, используя не все вейвлет-коэффициенты, а только те, которые относятся к этому фрагменту. При этом вычислительные затраты системы сокращаются в среднем в 8 раз по сравнению с затратами на работу алгоритмов, использующими всю информацию об изображении.*

**Ключевые слова:** *двумерное вейвлет-преобразование, информационная система, матрица изображения, пиксель, растровое изображение, сжатие изображения.*

**Введение.** Обработка растровых изображений является одной из наиболее актуальных задач в области обработки и передачи информации. В настоящее время разработано множество алгоритмов математической обработки изображений, основанных на различных принципах [1-3]. Эти алгоритмы широко применяются в большинстве методов сжатия и восстановления изображений. При решении задачи обработки изображений с использованием алгоритмов сжатия с потерями зачастую бывает трудно отыскать оптимальное соотношение качества восстанавливаемого изображения и быстродействия информационной системы, предъявляемое требованиями к ее разработке.

В алгоритмах сжатия без потерь при запросе требуемого, пусть может и небольшого, фрагмента изображения системе приходится работать со всем изображением, что также замедляет ее быстроедействие.

Целью работы является разработка алгоритма, устраняющего указанные недостатки.

**Постановка задачи.** Каждое изображение, получаемое информационной системой, является растровым, то есть оно представляется в виде матрицы пикселей. Требуется построить алгоритм восстановления фрагмента изображения в различных масштабах, не использующий всю его исходную матрицу.

**Формирование алгоритма обработки изображения.** Известно, что модель растрового изображения представляется в виде матрицы пикселей, каждый из которых определяет интенсивность цвета, являющуюся числом вида

$0x\text{bbggr}$  (в шестнадцатеричной системе исчисления), где  $bb$ ,  $gg$  и  $rr$  задают интенсивность цвета в каждой из трех составляющих, соответственно синей ( $bb$ ), зеленой ( $gg$ ) и красной ( $rr$ ) [4].

В [5] был предложен алгоритм, основанный на теории вейвлет-преобразования, для восстановления рельефа подстилающей поверхности, удовлетворяющий этим требованиям. Полученные результаты позволяют использовать тот же самый подход для формирования алгоритма обработки растровых изображений.

Фильтр, осуществляющий вейвлет-преобразование изображения, усредняет каждую из цветовых составляющих. Пусть, например, в исходном изображении два соседних пикселя  $p$  и  $q$  имеют значения: 5314466 и 5576102 соответственно (в шестнадцатеричном представлении это 5117a2 и 5515a6). Тогда вейвлет-преобразование производится следующим образом: результирующий цвет пикселя  $c$  в преобразованном изображении получается усреднением каждой цветовой составляющей исходных пикселей  $p$  и  $q$ :

$$c_b = \frac{(p_b + q_b)}{2} = \frac{55 + 51}{2} = 53,$$

$$c_g = \frac{(p_g + q_g)}{2} = \frac{17 + 15}{2} = 16,$$

$$c_r = \frac{(p_r + q_r)}{2} = \frac{a2 + a6}{2} = a4,$$

а потому интенсивность цвета усредненного пикселя будет 5316a4.



Рисунок 1 – Тестовое изображение

Если изображение является черно-белым, то каждый элемент матрицы представляется гораздо проще – одним числом. Это число соответствует градации серого цвета: 0 – черный цвет,  $Q-1$  – белый, где  $Q$  – число всех различных градаций серого, в стандартных случаях это число равно 256.

Пусть к обработке предъявляется тестовое изображение, представленное на рисунке 1.

Применение двукратного вейвлет-преобразования дает картину, представленную на рисунке 2, в которой уменьшенная копия изображения расположена в верхнем левом углу.

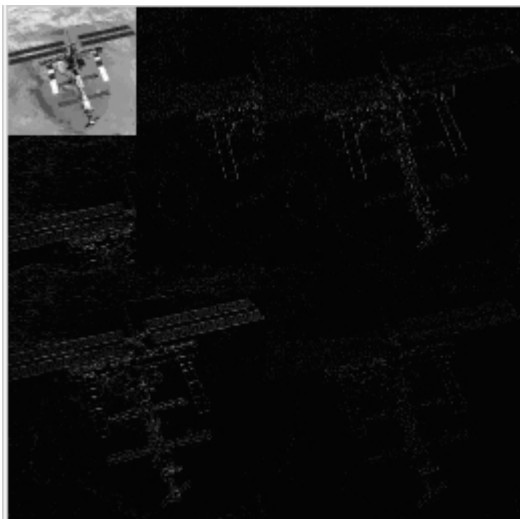


Рисунок 2 – Результат вейвлет-преобразования изображения

Анализ результата, представленного на рисунке 2, показывает, что в элементах, располагающихся вне верхнего левого угла, хранятся «затененные» пиксели. Применение обратного вейвлет-преобразования приводит к восстановлению изображения в исходном масштабе. При необходимости восстановления его фрагмента алгоритм работает следующим образом.

1. В верхней левой подматрице матрицы  $\mathbf{H}_{2n}$ ,

полученной из исходной матрицы  $\mathbf{H}$  изображения  $n$ -кратным вейвлет-преобразованием выделяется фрагмент, который необходимо восстановить. Матрице  $\mathbf{H}_{2n}$  соответствует изображение рисунка 2.

2. Во всех остальных подматрицах выделяются аналогичные фрагменты в соответствующих масштабах.

3. Из выделенных фрагментов образуется матрица  $\mathbf{H}_{2n}^*$  уже меньшей размерности, соответствующей той ее части, которую составляет фрагмент по отношению ко всему изображению.

4. Матрица  $\mathbf{H}_{2n}$  подвергается обратному вейвлет-преобразованию  $\mathbf{M}^{-1}$ , переводящее ее в матрицу  $\mathbf{H}^*$ , которая и является матрицей пикселей требуемого фрагмента изображения.

**Пример восстановления фрагмента изображения.** Проверка работоспособности алгоритма проводилась на тестовом изображении, представленном на рисунке 1. Для простоты вычислений считается, что оно является черно-белым с 256 градациями серого цвета, при этом сжатое изображение будет выглядеть так, как показано на рисунке 3, а восстанавливаемый фрагмент выделен черной рамкой.

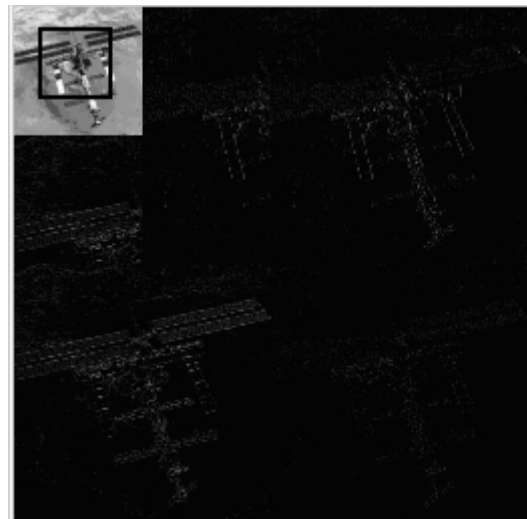


Рисунок 3 – Восстанавливаемый фрагмент изображения

Матрица пикселей размерности (400x400), соответствующая сжатому изображению, показанному на рисунке 3, будет выглядеть следующим образом:

$$\mathbf{H}_4 = \begin{pmatrix} 202 & \dots & \dots & \dots & \dots & \dots & 0 \\ \vdots & \ddots & \vdots & \vdots & \vdots & \vdots & \vdots \\ \vdots & \dots & 200 & \dots & 85 & \vdots & \vdots \\ \vdots & \dots & \vdots & \ddots & \vdots & \vdots & \vdots \\ \vdots & \dots & 125 & \dots & 100 & \vdots & \vdots \\ \vdots & \vdots & \vdots & \vdots & \vdots & \ddots & \vdots \\ 0 & \dots & \dots & \dots & \dots & \dots & 12 \end{pmatrix}.$$

Фрагмент имеет размерность (50x50) и выделен жирным шрифтом.

В остальных частях матрицы пикселей выбираются соответствующие фрагменты в различных масштабах, выделенные серыми рамками так, как это показано на рисунке 4.

Из этих фрагментов составляется матрица  $\mathbf{H}_4^*$  пикселей.

$$\mathbf{H}_4^* = \begin{pmatrix} 200 & \dots & 85 & \dots & 0 \\ \vdots & \ddots & \vdots & \dots & \vdots \\ 125 & \dots & 100 & \dots & \vdots \\ \vdots & \vdots & \vdots & \ddots & \vdots \\ 0 & \dots & \dots & \dots & 0 \end{pmatrix}.$$

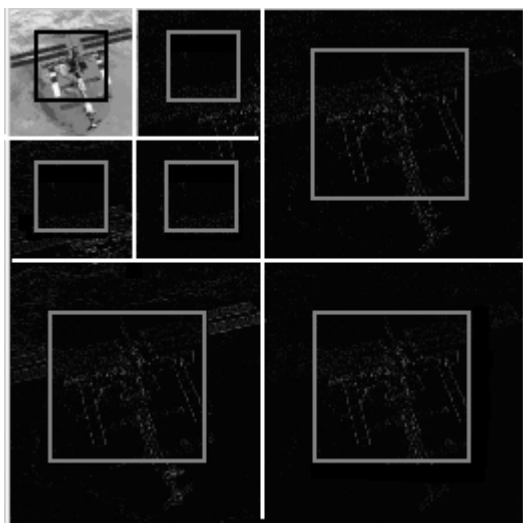


Рисунок 4 – Выделенные фрагменты восстанавливаемого изображения

Размер этой матрицы пропорционален отношению фрагмента, требуемого для восстановления ко всему изображению, и он меньше размера исходной матрицы  $\mathbf{H}_4$ .

На рисунке 5 показано изображение, соответствующее матрице  $\mathbf{H}_4^*$ .

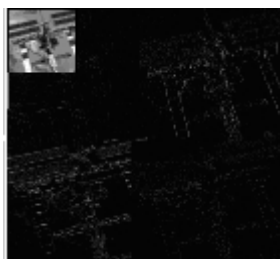


Рисунок 5 – Изображение, соответствующее матрице фрагментов

Обратное двукратное вейвлет-преобразование  $\mathbf{M}^{-1}$  размерности (100x100) [6] переводит матрицу  $\tilde{\mathbf{H}}_4^*$  в матрицу  $\tilde{\mathbf{H}}_3^*$ , а последнюю – в матрицу  $\tilde{\mathbf{H}}_2^*$  по правилу  $\tilde{\mathbf{H}}_3^* = \mathbf{M}^{-1}\tilde{\mathbf{H}}_4^*$ ,  $\tilde{\mathbf{H}}_2^* = (\mathbf{M}^{-1}\tilde{\mathbf{H}}_3^{*T})^T$ ,

где

$$\mathbf{M} = \begin{pmatrix} \mathbf{W} \\ \mathbf{G} \end{pmatrix} = \begin{pmatrix} 0.5 & 0.5 & 0 & 0 & \dots & 0 & 0 \\ 0 & 0 & 0.5 & 0.5 & \dots & 0 & 0 \\ \vdots & \vdots & \vdots & \vdots & \ddots & \vdots & \vdots \\ 0 & 0 & 0 & 0 & \dots & 0.5 & 0.5 \\ 0.5 & -0.5 & 0 & 0 & \dots & 0 & 0 \\ 0 & 0 & 0.5 & -0.5 & \dots & 0 & 0 \\ \vdots & \vdots & \vdots & \vdots & \ddots & \vdots & \vdots \\ 0 & 0 & 0 & 0 & \dots & 0.5 & -0.5 \end{pmatrix} -$$

матрица размерности (100x100),

$$\mathbf{W} = \begin{pmatrix} 0.5 & 0.5 & 0 & 0 & \dots & 0 & 0 \\ 0 & 0 & 0.5 & 0.5 & \dots & 0 & 0 \\ \vdots & \vdots & \vdots & \vdots & \ddots & \vdots & \vdots \\ 0 & 0 & 0 & 0 & \dots & 0.5 & 0.5 \end{pmatrix} -$$

матрица размерности (50x100),

$$\mathbf{G} = \begin{pmatrix} 0.5 & -0.5 & 0 & 0 & \dots & 0 & 0 \\ 0 & 0 & 0.5 & -0.5 & \dots & 0 & 0 \\ \vdots & \vdots & \vdots & \vdots & \ddots & \vdots & \vdots \\ 0 & 0 & 0 & 0 & \dots & 0.5 & -0.5 \end{pmatrix} -$$

матрица размерности (50x100).

Аналогично осуществляется обратное вейвлет-преобразование матрицы  $\mathbf{H}_2^*$ , дополненной элементами матрицы  $\mathbf{H}_4^*$ , не входящими в верхнюю левую подматрицу. Это преобразование задается матрицей  $\mathbf{M}^{-1}$  размерности (200x200) и переводит матрицу  $\mathbf{H}_2^*$ , в матрицу  $\mathbf{H}_1^*$ , а матрицу  $\mathbf{H}_1^*$  в матрицу  $\mathbf{H}^*$  по правилам

$$\mathbf{H}_1^* = \mathbf{M}^{-1}\mathbf{H}_2^*,$$

$$\mathbf{H}^* = (\mathbf{M}^{-1}\mathbf{H}_1^{*T})^T = \begin{pmatrix} 200 & \dots & 85 \\ \vdots & \ddots & \vdots \\ 125 & \dots & 100 \end{pmatrix}.$$

Восстановленный фрагмент изображения, соответствующий матрице  $\mathbf{H}$ , показан на рисунке 6.



Рисунок 6 – Восстановленный фрагмент изображения

Анализ изображения, представленного на рисунке 6, показывает, что в результате

обработки восстановлен именно тот фрагмент изображения, который был выделен в уменьшенной его копии, при этом восстановление производилось только по части матрицы пикселей изображения.

**Сопоставление затрат на реализацию алгоритмов обработки изображений.** Число машинных операций  $K$  при перемножении двух матриц размером  $(m \times m)$  вычисляется по формуле

$$K(b) = m \cdot m \cdot (qb^2 + rb),$$

где  $q$  – число операций умножения,  $r$  – число операций сложения (на сложение затрачивается  $b$  единиц ресурсов, на умножение –  $b^2$ ) [7].

Таким образом, затраты на реализацию алгоритма  $N$ -кратного двумерного вейвлет-преобразования рассчитываются по формуле

$$K^*(b) = \sum_{i=1}^N 2 \cdot m_i \cdot m_i \cdot (q_i b^2 + r_i b),$$

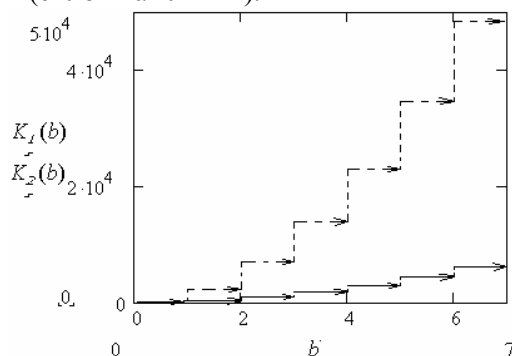
в которой множитель 2 вводится для учета двукратного перемножения матриц на одном шаге вейвлет-преобразования.

Итак, для рассмотренного примера зависимости затрат  $K_1$  на реализацию алгоритма, использующего всю матрицу изображения, и затрат  $K_2$  на реализацию алгоритма с обработкой части матрицы будут

$$K_1(b) = 2 \cdot (16 \cdot 4 + 64 \cdot 8) \cdot (b^2 + b),$$

$$K_2(b) = 2 \cdot (4 \cdot 2 + 16 \cdot 4) \cdot (b^2 + b).$$

На рисунке 7 представлены графики зависимости  $K_1(b)$  (пунктирная линия) и  $K_2(b)$  часть (сплошная линия).



**Рисунок 7 – Зависимости числа машинных операций  $K$  от числа ячеек памяти  $b$**

**Выводы.** Анализ результатов решения модельной задачи подтверждает предположение

о том, что разработанный алгоритм вейвлет-преобразования можно использовать для сжатия и восстановления растровых изображений. Кроме того, если восстанавливается только фрагмент изображения, то достаточно использовать часть верхней левой подматрицы, содержащую соответствующий фрагмент, и те же фрагменты в остальных подматрицах, взятые в различных масштабах.

При этом вычислительные операции выполняются над матрицами меньших размеров, чем исходная матрица изображения (в модельной задаче  $\mathbf{H}$  имеет размер  $(400 \times 400)$ , а вычисления выполняются с матрицами размера  $(200 \times 200)$ ). Как показал анализ вычислительных затрат, применение алгоритма восстановления фрагмента изображения, не использующего всю исходную матрицу, приводит к сокращению машинных операций в 8 раз, а значит, увеличивается быстродействие системы. Это особенно важно для организации вычислительных процедур в информационных системах, работающих в реальном или близком к реальному масштабах времени.

Работа выполнена при поддержке РФФИ по проектам № 07-08-00261 и 09-08-0699.

#### **Библиографический список**

1. Визильтер Ю. В., Желтов С. Ю., Князь В. А., Ходарев А. Н. Обработка и анализ цифровых изображений с примерами на LabVIEW и IMAQ Vision. ДМК-Пресс, 2008. - 464 с.
2. Красильников Н. Н. Цифровая обработка изображений. М.: ВШ, 2001. - 320 с.
3. Цифровое преобразование изображений: учебное пособие для вузов / Под ред. Р.Е. Быкова. - М.: 2003. - 228 с.
4. Charles A. Poynton (2003). Digital Video and HDTV: Algorithms and Interfaces. // Morgan Kaufmann. - P.17.
5. Шаронов А.В., Новоселов С.В. Построение алгоритма формирования модели рельефа подстилающей поверхности геоинформационной измерительной системой // Вестник МАИ. 2009. - Т.16. №1. - С. 95-100.
6. Шокуров А. В., Михалёв А. В. Оптимальное использование вейвлет-компонент // Успехи мат. наук. 2007.- Т. 62. № 4.— С. 171.
7. Гашиков С.Б. Системы счисления и их применение. - МЦНМО, 2004. - 52 с.